

بررسی منحنی کاتسکی و پارامترهای فلورسانس کلروفیل تحت تأثیر دو علف کش کلودینافوپ

و Dicamba+2, 4-D

زینب اورسجی^{۱*} - محمد حسن راشد محصل^۲ - احمد نظامی^۳ - مجید عباسپور^۴ - مهدی نصیری محلاتی^۵

تاریخ دریافت: ۱۳۹۱/۰۵/۰۸

تاریخ پذیرش: ۱۳۹۱/۰۹/۱۱

چکیده

اندازه‌گیری فلورسانس کلروفیل، روشی غیر تخریبی، سریع و بسیار حساس است که اطلاعات مهمی، در رابطه با دستگاه فتوسنتز گیاه به دست می‌دهد. دو آزمایش گلخانه‌ای هر کدام با پنج تکرار، جهت بررسی پارامترهای فلورسانس کلروفیل و منحنی کاتسکی در یولاف وحشی و خردل وحشی به ترتیب تحت تأثیر علف کش کلودینافوپ و Dicamba+2, 4-D انجام شد. نتایج، کاهش معنی‌داری در روند پارامترهای F_v/F_m ، F_v و F_m و Area پنج روز پس از پاشش علف کش کلودینافوپ نسبت به شاهد بدون مبارزه نشان داد در حالی که این روند یک روز پس از پاشش معنی‌دار نبود. شکل منحنی کاتسکی پنج روز پس از پاشش تحت تأثیر کلودینافوپ قرار گرفت و حداکثر فلورسانس کلروفیل (F_m) کاهش معنی‌داری پیدا کرد. پارامترهای فلورسانس کلروفیل، یک هفته زودتر از عوارض ظاهری کلودینافوپ، که به صورت زردی و خشکی برگ‌ها بروز پیدا کردند، تحت تأثیر قرار گرفت. از این خصوصیت فلورسانس کلروفیل می‌توان برای بررسی سریع و آسان‌تر کارایی علف کش‌ها نسبت به روش کلاسیک (اندازه‌گیری وزن خشک یا وزن تر) استفاده کرد. در علف هرز خردل وحشی، منحنی کاتسکی یک روز پس از پاشش علف کش Dicamba+2, 4-D در دزهای بالاتر (۳۷۱/۲ و ۱۶۵/۱ گرم ماده موثره در هکتار) دچار تغییر شد. در روز دوم پس از پاشش، کاهش فلورسانس کلروفیل، پس از ۱۰۰۰ میلی ثانیه در دز توصیه شده (۳۷۱/۲ گرم ماده موثره در هکتار) اتفاق نیفتاد، اما در بقیه دزها این کاهش در هر دو روز اول و دوم پس از پاشش بوجود آمد. در نهایت اگرچه این دو علف کش بازدارنده مستقیم فتوسیستم دو نیستند اما باعث تغییر شکل منحنی کاتسکی، قبل از بروز عوارض ظاهری علف کش شدند.

واژه‌های کلیدی: F_v/F_m ، F_v ، Area، برگ‌های سازش یافته به تاریکی

مقدمه

افزایش فلورسانس کلروفیل می‌گردد: مراحل این فرایند را با حروف P, I, J, O می‌خوانند (شکل ۱). مرحله O-J که در آن Q_A کاملاً احیا شده است بین ۵۰ میکروثانیه تا ۲ میلی ثانیه طول می‌کشد. در مرحله J-I انتقال الکترون‌ها از Q_A به Q_B اتفاق می‌افتد که بین ۲ تا ۳۰ میلی ثانیه به طول می‌انجامد و مرحله I-P که در آن فرونشانی فلورسانس کلروفیل به وسیله اکسیداسیون کامل مخزن پلاستوکوئینون طی ۳۰ تا ۵۰ میلی ثانیه اتفاق می‌افتد (۱۴ و ۳۲). طی این فرایند، تابش نور به یک برگ قرار گرفته در تاریکی، باعث افزایش فلورسانس از حالت پایه F_0 در مرحله O به بالاترین میزان خودش F_m در مرحله P در طی یک ثانیه می‌شود. تحت چنین شرایطی Q_A کاملاً احیا می‌شود که سبب تعیین F_v/F_m (حداکثر کارایی کوانتومی فتوسیستم دو) می‌گردد و مقدار آن در برگ‌های سالم همه گیاهان (مستقل از گونه است) تقریباً ۰/۸۳ است (شکل ۱) (۳ و ۳۴).

امکان استفاده از پارامترهای القای فلورسانس برای تعیین متابولیسم تعدادی از علف کش‌ها که به صورت مستقیم روی فتوسنتز موثر نیستند، توسط بارباگالوا (۴) مورد آزمایش قرار گرفت. شواهد زیادی وجود دارد که بسیاری از بازدارنده‌های فعالیت متابولیسم که به

فلورسانس کلروفیل a به دلیل پیوند پیچیده با فرآیندهای متعددی که در جریان تبدیل انرژی نورانی به شیمیایی اتفاق می‌افتد، پنجره‌ای به قلب فتوسنتز گیاه است (۱۶ و ۲۵). انرژی نورانی جذب شده توسط گیرنده‌های آنتنی، که در مسیر فتوسنتزی مصرف نمی‌شوند، به صورت گرما یا فلورسانس تخلیه می‌گردد. این سه مسیر به گونه‌ای، رقابتی عمل می‌کنند و افزایش کارایی در یکی از آن‌ها باعث کاهش بقیه می‌شود.

طول موج طیف فلورسانس از طیف نور جذب شده توسط کلروفیل بیش‌تر است. بنابراین، عملکرد فلورسانس را می‌توان با قرار دادن یک برگ در برابر طول موج تعریف شده‌ای از نور و اندازه‌گیری میزان نور ساطع شده با طول موج بلندتر، کمی کرد (۱۶). تابش نوری با طول موج ۶۵۰ نانومتر به برگ سالم قرار گرفته در تاریکی باعث

۱، ۲، ۳ و ۵ - به ترتیب دانشجوی دکتری و استادان گروه زراعت و اصلاح نباتات، دانشکده کشاورزی، دانشگاه فردوسی مشهد

(*) - نویسنده مسئول: (Email: zeinab.avarseji@gmail.com)

۴ - استادیار پژوهشی مرکز تحقیقات کشاورزی و منابع طبیعی خراسان رضوی

elegance plus) و با نازل بادبزی ۸۰۰۱ تحت فشار ۳۰۰ کیلوپاسکال انجام گرفت. حجم پاشش ۲۰۰ لیتر در هکتار در نظر گرفته شد. جهت ایجاد شرایط یکنواخت در طول سم پاشی، دستگاه سم پاش با فشار پاشش مورد نظر، روی ریلی یا سرعت ثابت حرکت می کرد که در نهایت حجم پاشش یکسانی روی تمام علف های هرز ایجاد نمود.

اندازه گیری های فلورسانس کلروفیل، توسط دستگاه فلورسانس متر Handy-PEA, Hansatech Instruments, King's Lynn (Norfolk, UK) که نوری با طول موج ۶۵۰ نانومتر و شدت ۳۰۰۰ میکرومول فوتون در متر مربع در ثانیه را به مدت ۱۰ ثانیه می تاباند، از یک روز پس از سم پاشی تا ۱۰ روز پس از آن در ساعت ۱۰ صبح روی برگ هایی که به مدت ۳۰ دقیقه در تاریکی قرار گرفته بودند (به وسیله گذاشتن کلیپس روی برگ ها) انجام شد. و در هر بار اندازه گیری از همان برگ قبلی، فلورسانس گرفته شد تا امکان بروز خطا به حداقل برسد.

منحنی های کاتسکی و پارامترهای مربوطه برای دزهای مختلف، توسط برنامه BIOLIZER (۲۸) به دست آمد. پارامترهای مشتق شده از منحنی کاتسکی که در این آزمایش مورد استفاده قرار گرفتند شامل موارد زیر بود:

$$1. (F_m - F_0) / F_m = F_v / F_m \quad 2. (F_m - F_j) / F_m = F_{vj}$$

Area^۳ (شکل ۱)

F_m: فلورسانس حداکثر F₀: فلورسانس پایه

F_j: فلورسانس در مرحله J

نتایج و بحث

علف کش کلودینافوپ-علف هرز یولاف وحشی

همان طور که در شکل (۲-ب) مشاهده می شود منحنی کاتسکی ۵ روز پس از پاشش علف کش، تحت تاثیر قرار گرفته و میزان فلورسانس، کاهش یافته است. فلورسانس حداکثر (F_m) در مقدار ۶۴ گرم ماده موثره کلودینافوپ در هکتار، نیز پنج روز پس از پاشش کاهش یافت. همچنین شکل و فرم این منحنی، تحت تاثیر علف کش کلودینافوپ تغییر کرده است. در تحقیقات دیگران نیز فرم منحنی کاتسکی، تحت تاثیر عوامل تنش زا مثل علف کش ها، تنش خشکی و سرما قرار گرفته است (۶، ۱۰ و ۱۸).

صورت مستقیم روی فرایندهای فتوسنتز تاثیر ندارند، نیز می توانند باعث تغییر فلورسانس کلروفیل شوند (۴، ۵، ۹ و ۳۴). پارامترهایی مانند F_{vj}، F_v/F_m (تغییرات نسبی فلورسانس در مرحله J) و Area (مساحت بین منحنی کاتسکی و F_m) (شکل ۱) به عنوان پارامترهای مطلوب جهت بررسی اثرات علف کش با نحوه عمل متفاوت شناخته شده است (۷).

ریشمولار-هاک و همکاران (۲۷) با اندازه گیری فلورسانس کلروفیل، موفق به تشخیص زود هنگام اثرات علف کش در علف های هرز شدند. آزمایشاتی روی گونه های *Alopecurus myosuroides*، *Avena fatua*، *Phaseolus vulgaris*، *Sinapis alba*، *Triticum aestivum*، *Zea mays* نیز امکان کاربری گسترده پارامترهای فلورسانس را در تعیین تغییرات متابولیسم ناشی از علف کش ها، تایید کرده است (۵، ۹ و ۱۸).

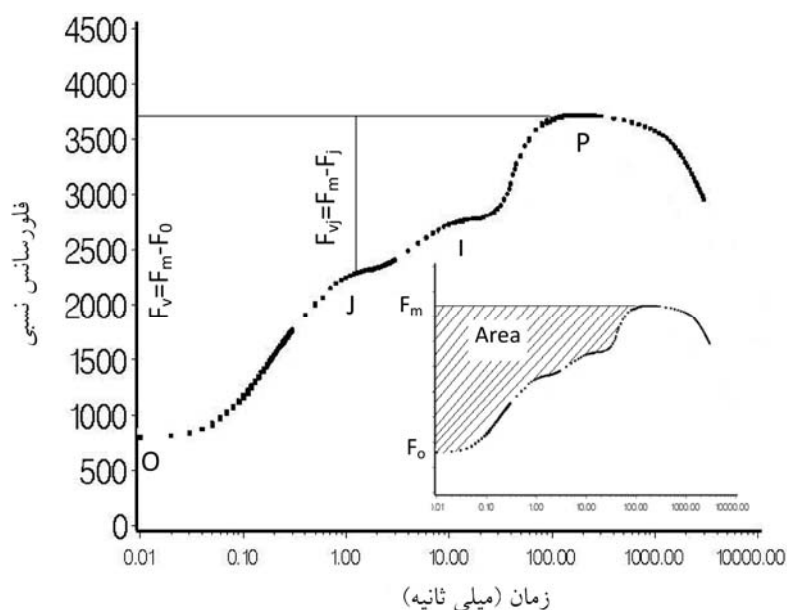
در این آزمایش دو هدف دنبال شد اول بررسی تأثیر کلودینافوپ و Dicamba+2، 4-D بر منحنی کاتسکی و پارامترهای فلورسانس کلروفیل دوم امکان تشخیص زود هنگام فعالیت این علف کش ها توسط این پارامترها بود.

مواد و روش ها

دو آزمایش و هر کدام با پنج تکرار بر پایه طرح کاملاً تصادفی در سال ۱۳۹۰ در گلخانه تحقیقاتی دانشکده کشاورزی دانشگاه فردوسی مشهد انجام شد.

بذرهای یولاف وحشی، پس از ۵ روز سرمادهی در دمای ۴ درجه سانتی گراد و سپس انتقال به دمای ۲۵ درجه سانتی گراد خواب شکنی شدند. شکستن خواب بذرهای خردل وحشی با ۷ روز سرمادهی در دمای ۴ درجه سانتی گراد و انتقال به دمای ۲۵ درجه سانتی گراد به مدت ۲ روز انجام شد. زمانی که نوک ریشه چه ها به اندازه یک میلی متر از بذر خارج شده بودند به سینی های کشت حاوی پیت و ماس منتقل شدند، سپس گیاهچه هایی که یک در مرحله رشدی بودند انتخاب و در گلدان هایی با قطر ۱۲ سانتی متر (که با نسبت برابر ماسه، خاک و خاک برگ پر شده بودند)، با تراکم چهار بوته کاشته شدند. گلدان ها یک روز در میان بسته به نیاز گیاه آبیاری شدند و در طول آزمایش هر زمان نیاز به مبارزه با آفات و امراض بود با رعایت فاصله زمانی مناسب از تیمار علف کش، از آفت کش ها استفاده گردید. جهت سم پاشی یولاف وحشی، شش دز (۴، ۸، ۱۶، ۳۲، ۶۴) و ۰ گرم ماده موثره در هکتار) علف کش کلودینافوپ و برای سم پاشی خردل وحشی، علف کش Dicamba+2، 4-D با دزهای ۳۷۱/۲، ۱۶۵/۱، ۱۱۰، ۷۳/۴ و ۰ گرم ماده موثره در هکتار استفاده شدند. تیمار هر دو علف هرز در مرحله ۳ برگی انجام شد.

سم پاشی توسط دستگاه سمپاش پشتی شارژی (MATABI)



شکل ۱- منحنی کاتسکی ثبت شده توسط دستگاه PEA در برگی که به مدت ۳۰ دقیقه به وسیله کلیس در تاریکی قرار گرفته است.

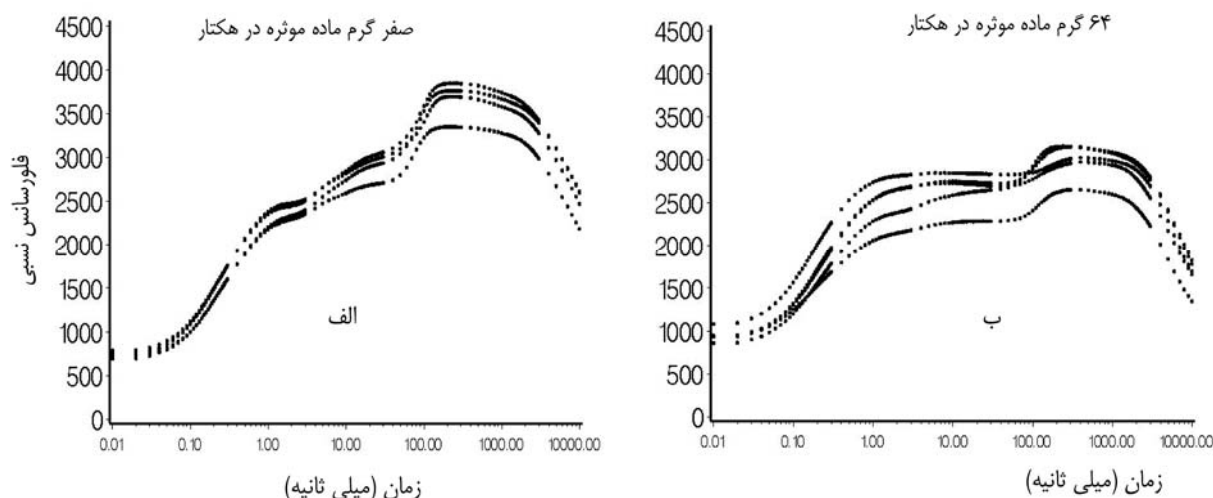
خصوصیات فتوسنتز ۲ تا ۴ روز پس از مصرف مت سولفورون متیل توانستند اطلاعات ارزشمندی را قبل از بروز علائم این علف کش که ۷ تا ۱۰ روز پس از مصرف، ظاهر شد به دست آورند. آن‌ها اندازه‌گیری کارایی کوانتومی فتوسیستم دو و محتوای کلروفیل را به عنوان دو راهکار عملی، جهت تشخیص زود هنگام فعالیت مت سولفورون متیل اعلام کردند.

علاوه بر پارامترهای فلورسانس کلروفیل (شکل ۳)، شکل ظاهری منحنی کاتسکی (شکل ۲) نیز قبل از بروز عوارض ظاهری علف کش تحت تاثیر قرار گرفت.

علف کش کلودینافوپ بازدارنده استیل کوانزیم آ کربوکسیلاز است که این آنزیم جهت بیوسنتز لیپیدها ضروری است. در واقع این علف کش بازدارنده مستقیم فتوسیستم II نمی‌باشد اما فرایندهای مختلف ناشی از اثر این علف کش، در نهایت تولید ROS می‌کند (۳)، ۲۱، ۳۰ و ۳۴). ROS به وجود آمده در گیاه در نتیجه تعداد زیادی از فرایندهای تخریبی که در مجموع تنش اکسیداتیو نامیده می‌شود منجر به مرگ علف هرز، می‌گردد. واکنش‌های تخریبی شامل از هم گسیختگی فسفولیپیدهای موجود در غشاء تیلاکوئیدهای کلروپلاست که فرایند انتقال الکترون فتوسنتز در آن‌ها صورت می‌گیرد می‌باشد که از عوارض کاربرد علف کش‌های Accase از جمله کلودینافوپ است (۲۹) و زنجیره انتقال الکترون از فتوسیستم II به فتوسیستم I را قطع می‌کند (۱۳، ۲۶ و ۳۱) که این مسئله علاوه بر تغییر شکل منحنی کاتسکی در نهایت مرگ گیاه را نیز سبب می‌شود.

جهت توضیح تغییرات فرم منحنی کاتسکی در شکل (۲-ب) پارامترهای حداکثر بازده کوانتومی فتوسیستم II (F_v/F_m)، مساحت بین منحنی کاتسکی و F_m (Area) و تغییرات نسبی فلورسانس در مرحله J (F_{vj}) در مقادیر مختلف علف کش کلودینافوپ، در شکل ۳ آورده شده است. همان‌طور که ملاحظه می‌شود یک روز پس از سم پاشی، روند کاهش این سه پارامتر در مقادیر مختلف علف کش معنی‌دار نبود و در بین این سه پارامتر F_v/F_m و F_{vj} نسبت به Area واکنش کمتری نشان دادند اما پنج روز پس از سم پاشی کاهش معنی‌دار این پارامترها آغاز شد. به گونه‌ای که روند کاهش F_v/F_m از یک هشتم دز توصیه شده کلودینافوپ، شروع شد در حالی که نقطه آغاز واکنش کاهش پارامترهای Area و F_{vj} از یک شانزدهم دز توصیه شده آغاز گردید. پارامترهای Area و F_{vj} پنج روز پس از پاشش کلودینافوپ، حساسیت بیشتری و واکنش سریع‌تری به آن نشان دادند و همان‌طور که در شکل ۳ دیده می‌شود در مقادیر کاهش یافته علف کش نیز این دو پارامتر شاخص بهتری در ارتباط با کارایی آن می‌باشند. عباسپور و استریبیگ (۱) از کاهش غیر قابل بازگشت پارامترهای F_v/F_m و F_{vj} در علف هرز تاجریزی توسط علف کش دسمدیفام گزارش کردند.

علائم علف کش کلودینافوپ، ۱۲ روز پس از سم پاشی ظاهر شدند در حالی که خصوصیات فلورسانس یولاف وحشی، پنج روز پس از سم پاشی، تاثیر کاهش معنی‌دار مقادیر مختلف کلودینافوپ، را نشان دادند بنابراین کارایی علف کش کلودینافوپ، توسط خصوصیات فلورسانس کلروفیل، یک هفته زودتر از علائم ظاهری یولاف وحشی تشخیص داده شد. ریتمولر هاگ و همکاران (۲۷) نیز توسط



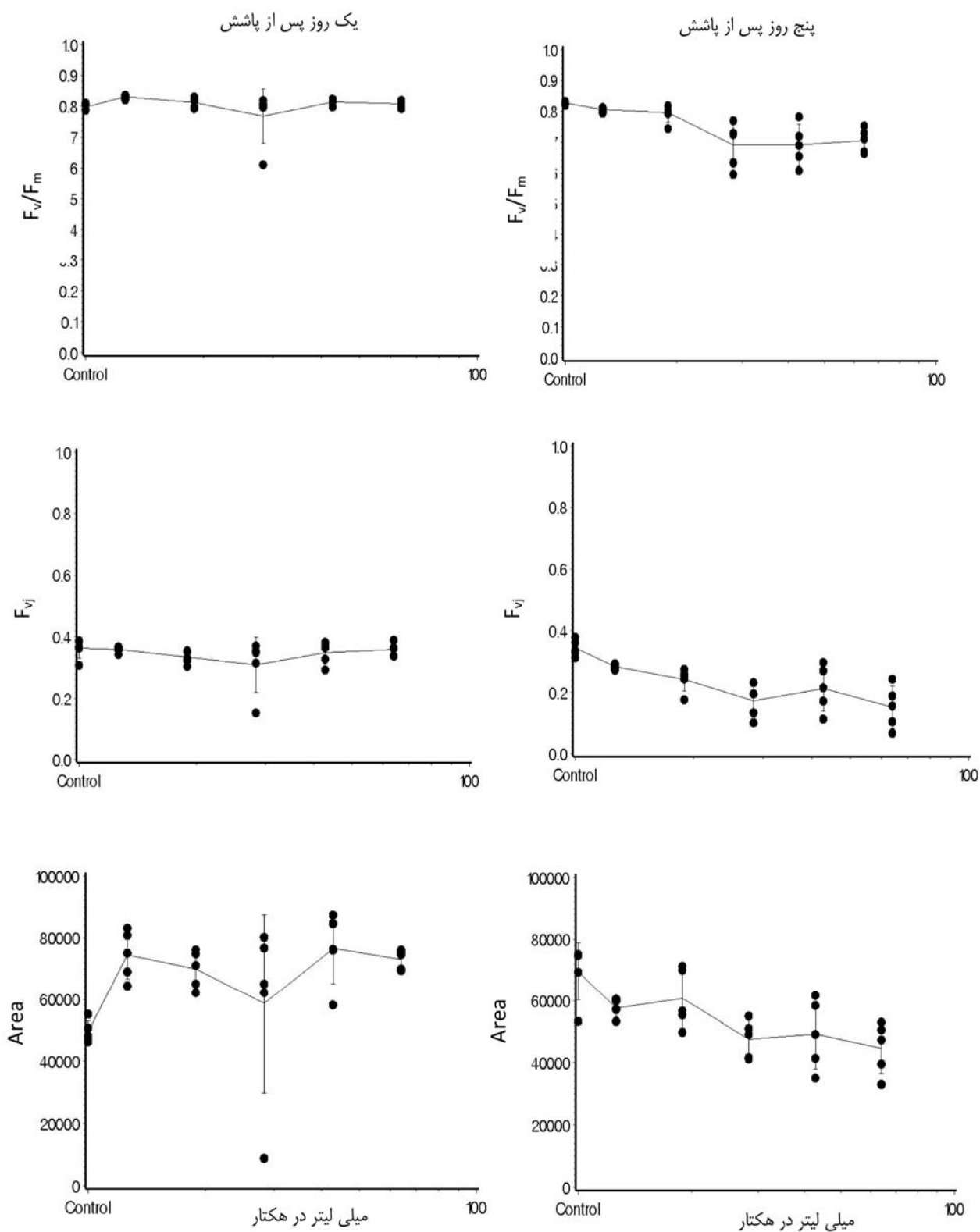
شکل ۲- تأثیر علف کش کلودینافوپ، پنج روز پس از پاشش بر شکل منحنی کاتسکی در یولاف وحشی. (الف) تیمار شاهد بدون علف کش، (ب) تیمار ۶۴ گرم ماده موثره. هر منحنی نمایانگر یک تکرار است. پالس اشباع ۳۰۰۰ میکرومول فوتون در متر مربع در ثانیه با طول موج ۶۵۰ نانومتر به مدت ۱۰ ثانیه به برگ قرار گرفته در تاریکی. محور x لگاریتمی مقیاس بندی شده است.

قرار دارند و به هنگام برخورد پالس اشباع، تمام ظرفیت این مرکز واکنش احیا می‌شود و فلورسانس حداکثر آن در مرحله P (F_m) با احیا شدن تمام استخر پلاستوکوئینون ساطع می‌شود در حالی که در یولاف وحشی که پنج روز پس از پاشش علف کش کلودینافوپ مورد اندازه‌گیری میزان فلورسانس حداکثر قرار گرفتند، فرایندهای تخریب فتوسیستم دو آغاز شده و تنش اکسیداتیو حاصل از علف کش کلودینافوپ به قسمت‌های مختلف مرکز واکنش فتوسیستم دو حمله کرده و ممکن است بخش‌هایی از استخر پلاستوکوئینون در این فرایند آسیب دیده باشند، در نتیجه انتظار می‌رود که مرکز واکنش فتوسیستم دو با ظرفیت پلاستوکوئینون کم‌تری در تولید فلورسانس نقش داشته باشد که به دنبال آن میزان فلورسانس حداکثر نسبت به مقدار متناظر آن در شاهد کم‌تر می‌شود. فلوروکلریدون و گلایفوسیت نیز به ترتیب ۴ ساعت پس از پاشش، فلورسانس حداکثر علف هرز خردل سفید (*Sinapis arvensis*) را کاهش دادند (۷).

در پی تأثیر علف کش بر منحنی کاتسکی مقدار فلورسانس کلروفیل در مرحله O (F_0) نسبت به شاهد افزایش یافته ولی مقدار فلورسانس حداکثر کاهش یافته است و به تبع آن مقدار مساحت بالای منحنی کاتسکی (Area) نسبت به شاهد کم شده است. پارامتر Area بیانگر حداکثر ظرفیت کوئینونی فتوسیستم II می‌باشد و کاهش آن در یولاف‌های وحشی تیمار شده با کلودینافوپ نشان از تأثیر این علف کش بر مولکول‌های کوئینون موجود در زنجیره انتقال الکترون دارد و با این که این علف کش مستقیماً بازدارنده فتوسنتز نیست ولی طی فرایندهای مختلفی که منجر به تولید ROS و تنش اکسیداتیو در علف هرز می‌شود زنجیره انتقال الکترون و شکل منحنی کاتسکی را تحت تأثیر قرار داده است (۱۵).

در شکل ۲ ب مشخص است منحنی کاتسکی، از مرحله J به بعد در شکل I-P و I-I تغییر شکل داده است در حالی که این مراحل در شاهد به خوبی قابل رویت است و شکل استاندارد منحنی کاتسکی، به تفکیک تمام مراحل که در یک گیاه سالم وجود دارد، در آن دیده می‌شود. کلودینافوپ در مرحله J-I که انتقال الکترون از کوئینون A (Q_A) به کوئینون B (Q_B) صورت می‌گیرد ایجاد اشکال کرده است. به نظر می‌رسد بازدارندگی این علف کش در چرخه انتقال الکترون، منجر به تأثیر آن در مرحله J-I گردیده است. انتقال الکترون از کوئینون A به B در مرحله J-I تحت تأثیر بخش دهنده فتوسیستم II^۱ (فعالیت تجزیه آب) قرار می‌گیرد (۳۲) بنابراین تابش پالس اشباع به فتوسیستم II در برگ‌های قرار گرفته در تاریکی باعث روانه ساختن تعداد زیادی الکترون، به مرکز واکنش فتوسیستم II می‌شود و از آنجایی که کلودینافوپ به زنجیره انتقال الکترون آسیب رسانده است، به نظر می‌رسد که فتوسیستم II سعی دارد ترافیک بار الکترونی حاصل از پالس اشباع در زنجیره انتقال الکترون معیوب را با افزایش میزان فلورسانس کلروفیل تخلیه کند.

کاهش فلورسانس نسبی پس از مرحله P (۱۰۰۰ میلی ثانیه) نشان می‌دهد که حداقل تعدادی از مراکز واکنش فتوسیستم دو هنوز سالم باقی مانده‌اند و ممانعت نوری فتوسیستم دو به طور کامل انجام نگرفته است (شکل ۲). میزان فلورسانس نسبی در مرحله P منحنی کاتسکی (فلورسانس حداکثر یا F_m) در شکل ۲- ب نسبت به مقدار آن در شاهد کاهش یافته است. در برگ‌های گیاه شاهد قرار گرفته در تاریکی، تمام قسمت‌های مرکز واکنش فتوسیستم دو در حالت اکسید



شکل ۳- تاثیر علف کش کلودینافوپ بر پارامترهای فلورسانس کلروفیل در یک و پنج روز پس از سم پاشی (پنج دز به همراه شاهد). هر نقطه نمایانگر یک تکرار است. خطوط عمودی خطای استاندارد را نشان می دهند. مقیاس محور x لگاریتمی است.

علف کش Dicamba+2, 4-D و علف هرز خردل وحشی

شکل ۴ تغییرات منحنی کاتسکی را ۱ و ۲ روز پس از پاشش علف کش Dicamba+2, 4-D در دزهای مختلف نشان می دهد. شکل استاندارد منحنی کاتسکی در تیمار شاهد (صفر گرم ماده موثره در هکتار) مشاهده می شود اما در دزهای دیگر، فرم آن تحت تاثیر قرار گرفته است. همان طور که در این شکل مشاهده می شود ۲۴ ساعت پس از کاربرد علف کش تغییرات شکل منحنی کاتسکی شروع شده است اگرچه تغییرات این منحنی یک روز پس از پاشش، در دزهای کم تر علف کش (۷۳/۴، ۱۱۰ گرم ماده موثره در هکتار) زیاد نبود اما در دزهای بالاتر آن کاملاً مشخص بود. با گذشت ۲ روز از پاشش علف کش Dicamba+2, 4-D، تغییرات منحنی در دزهای کاهش یافته این علف کش نیز، شدت پیدا کرد و به طور مشخصی مراحل O, J, I, P در حال از بین رفت بودند. عباسپور و استریبیگ (۲) گزارش کردند علف کش کلودینافوپ، که یک بازدارنده استیل کو آنزیم آ کربوکسیلاز می باشد نیز شکل منحنی القای فلورسانس کلروفیل را در جو و یولاف تغییر داده است.

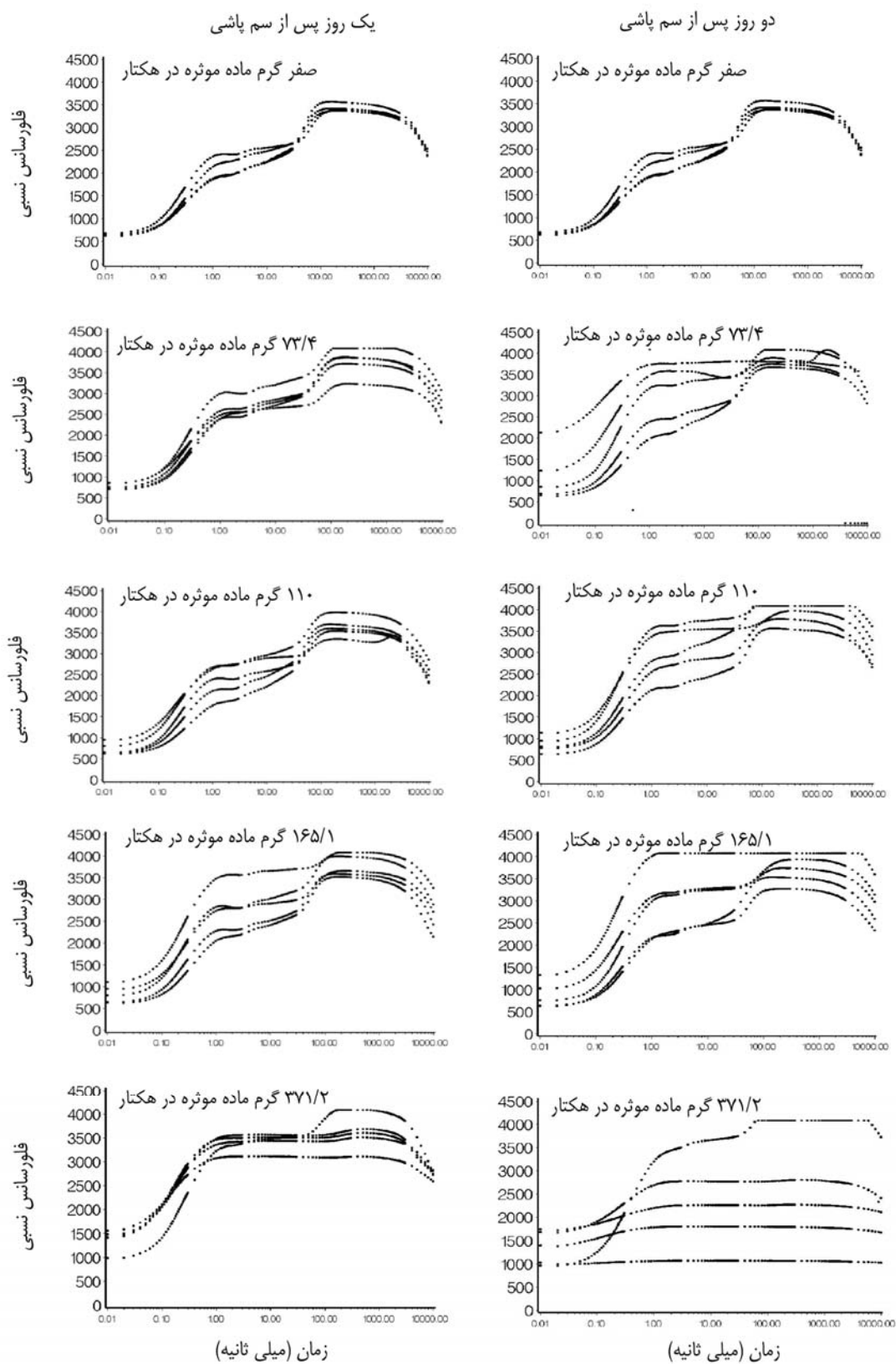
دزهای بالاتر این علف کش (۳۷۱/۲، ۱۶۵/۱ گرم ماده موثره در هکتار) حتی ۱ روز پس از سمپاشی نیز شکل منحنی کاتسکی را تغییر داده و روند از بین رفتن مراحل مختلف آن آغاز گردیده است (شکل ۴). منحنی القای فلورسانس کلروفیل در دز توصیه شده (۳۷۱/۲ گرم ماده موثره در هکتار) یک روز پس از پاشش در مقایسه با همین منحنی در روز دوم پس از پاشش نشان می دهد که مراحل O, J, I, P از بین رفته است به گونه ای که در دز توصیه شده، این مراحل به طور کامل حذف شده و منحنی، تقریباً به یک خط صاف افقی تبدیل شده است. هر کدام از این مراحل (O, J, I, P) بیانگر وقایع فتوشیمیایی خاصی در ارتباط با فتوسیستم دو است و از بین رفتن آن ها نشان آسیب جدی به فتوستنتز می باشد (۳۲).

این علف کش مخلوطی از تو فور دی و دایکما متعلق به خانواده اکسین ها می باشد. تحقیقات زیادی اثرات اکسین خارجی روی رشد گیاهان را بررسی کرده است و نتایج کلی حاصل از بررسی آن ها نشان می دهد الف: اکسین بسته به میزان غلظت آن هم می تواند تحریک کننده رشد باشد و هم ممانعت کننده ب: حساسیت بافت های مختلف نسبت به میزان اکسین استفاده شده متفاوت است (۸). در واقع تا اندازه زیادی، تولید اتیلن ناشی از مصرف اکسین خارجی، سبب ممانعت از رشد گیاهان هدف می شود (۸). تولید اتیلن به همراه افزایش بیوستنتز هورمون اسید آسبیزیک از پی آمدهای تیمار علف کش های خانواده اکسین می باشد. اتیلن عامل پیری و بسته شدن روزنه های هوایی از عوارض هورمون اسید آسبیزیک می باشد که در نتیجه، اسیمپلاسیون کرین توسط فتوستنتز متوقف می شود. کاهش دی اکسید کربن تثبیت شده منجر به تجمع ROS مانند پراکسید

هیدروژنی (H_2O_2) می شود که از نشت الکترون از غشای تیلاکوئیدی و اتصال آن به اکسیژن سرچشمه گرفته است (۱۱). پراکسید هیدروژن در واکنش با رادیکال های سوپراکسید، رادیکال های هیدروکسی را تولید می کند که با پراکسیداسیون لیپیدها، به سلول ها آسیب می زند. نشت الکترون غشای تیلاکوئیدی و آسیب رسیدن به غشاهای فسفولیپیدی تیلاکوئیدهای کلروپلاست (۱۷) می تواند بر فرایند انتقال الکترون فتوستنتز تاثیر گذارد و به نظر می رسد که این سلسله فرایندها منتهی به تغییر شکل منحنی کاتسکی می گردد. دایان و ذاکارو (۱۲) بیان کردند علف کش هایی که باعث پراکسیداسیون غشاهای لیپیدی می شوند ممکن است که ثبات دستگاه فتوستنتز را از بین ببرند و به طور غیر مستقیم، باعث تغییرات منحنی القای فلورسانس کلروفیل گردند.

به نظر می رسد که شدت تغییرات ایجاد شده در روز دوم و در دز حداکثر (۳۷۱/۲ گرم ماده موثره در هکتار) (شکل ۴)، ناشی از اثرات منفی پراکسیداسیون غشاهای فسفولیپیدی تیلاکوئیدهای کلروپلاست و تاثیر آن بر کاهش انسجام غشا و به دنبال آن اختلال در انتقال الکترون در مراکز واکنش فتوسیستم دو باشد. که این تخریب ها در دزهای کاهش یافته این علف کش نیز با گذشت زمان بوجود آمد به طوری که منحنی القای فلورسانس کلروفیل در روزهای ۳، ۴، ۵ و ۶ روز پس از پاشش و تقریباً در برخی تکرارهای همه دزها به خطی صاف تبدیل شد.

از آنجایی که واکنش های وابسته به نور انتقال الکترون، با حد واسطه ای^۱ که بالقوه مضر و واکنش زا^۲ هستند همراه می باشند بنابراین جهت مقابله با تماس مستقیم این مواد با آب و اکسیژن، در غشاهای دو لایه لیپیدی جاسازی شده اند و توسط تعداد متعددی مکانیسم های محافظتی آنتی اکسیداتیو احاطه گردیده اند تا ROS های تولید شده را فرو نشانند (۲۳). از سوی دیگر پلاستیدها، سیستم های غشایی پیچیده ای با دو لایه داخلی و خارجی هستند که جایگاه فرایندهای مهمی مانند سنتز گلیسرولیپیدها، رنگدانه ها (کلروفیل و کارتنوئیدها، پرینیل کوئینون هایی مانند پلاستوکوئینون و آلفاتوکفرل) می باشند (۲۰) و وجود حداقل ۷۰۰ پروتئین مختلف، بازتابی از سطوح بالای فعالیت های فیزیولوژیکی است که در پلاستیدها به وقوع می پیوندد (۲۴). با توجه به اهمیتی که غشاهای فسفولیپیدی در انجام و کمک به فرایندهای مختلف فیزیولوژیک دارند و مخصوصاً نقش غشاهای فسفولیپیدی تیلاکوئیدها در انتقال الکترون، بدیهی است که هر گونه آسیب به این غشاها منتهی به اختلال در سامانه انتقال الکترون و فتوستنتز می شود.



شکل ۴- تاثیر علف کش Dicamba+2, 4-D بر شکل منحنی کاتسکی (۱۰ ثانیه) در خردل وحشی، یک و دو روز پس از پاشش علف کش. هر منحنی نمایانگر یک تکرار است.

تقریباً ۰/۸ بوده که نشان از سلامت و عدم وجود هر گونه تنش در تیمار شاهد بدون علف کش دارد. یک روز پس از پاشش علف کش، به غیر از دز حداکثر، تغییر زیادی در مقدار پارامتر (F_v/F_m) مشاهده نشد، اما در روزهای بعدی، کاهش مقدار این پارامتر تقریباً در تمام دزها مشخص است. تا روز چهارم پس از پاشش مقدار این پارامتر کاهش یافت اما در روز پنجم و ششم این پارامتر در دز حداکثر افزایش نشان داد. این حالت معمولاً زمانی اتفاق می افتد که علف هرز چند روز پس از پاشش علف کش در حال بهبود و بازیابی خود از عوارض سم می باشد، با توجه به این که به موازات اندازه گیری های فلورسانس، عوارض ظاهری ناشی از مصرف سم هم در این آزمایش ثبت می شد، فرضیه بهبود علف هرز رد می شود زیرا عوارض ظاهری ناشی از مصرف سم به طور گسترده در گیاه دیده می شد.

نتیجه گیری

امروزه استفاده از دزهای کاهش یافته به خاطر تبعات زیست محیطی و انسانی که مصرف علف کش ها دارد، مورد توجه قرار گرفته است و همان طور که ژنگ و همکاران (۳۵) نیز گزارش کردند مقادیر توصیه شده علف کش ها توسط کمپانی های آن ها به گونه ای تعیین شده که علف کش در تمام شرایط استفاده از آن بتواند کارایی کنترل مناسبی داشته باشد، بنابراین به نظر می رسد که همیشه لازم نیست از دز توصیه شده استفاده کرد. استفاده از فلورسانس کلروفیل در کنار مصرف دزهای کاهش یافته علف کش ها شاید بتواند در مدت زمان کوتاهی پس از پاشش، کارا و یا ناکارا بودن دز مصرف شده در کنترل علف های هرز را مشخص کند. اگر پارامترهای فلورسانس کلروفیل در پاسخ به مقادیر کاهش یافته علف کش مورد نظر، کاهش نشان داد، بنابراین می توان نتیجه گرفت که دز کاهش یافته توانایی کنترل علف هرز را داراست. اما نکته مهمی که در این جا مطرح است مسئله نحوه عمل علف کش ها می باشد زیرا علف کش هایی وجود دارند که توانایی کنترل علف های هرز را دارا هستند ولی با این وجود خصوصیات فلورسانس کلروفیل را تغییر نمی دهند.

اگرچه علف کش های کلودینافوپ و Dicamba+2, 4-D بازدارنده مستقیم فتوسنتز نیستند اما از طریق دخالت در فرایندهای مختلف متابولیکی و افزایش تولید مواد حد واسط مضر و واکنشها مانند پراکسید هیدروژن، منحنی القای فلورسانس را تغییر دادند که پایش این تغییرات در منحنی کاتسکی، یک روز پس از پاشش کلودینافوپ و ۲۴ ساعت پس از تیمار علف کش Dicamba+2, 4-D امکان پذیر بود.

شکل منحنی کاتسکی اطلاعات خوبی راجع به علف کش می دهد. تأثیر کلودینافوپ و Dicamba+2, 4-D بر فلورسانس نسبی

تولید بیش از حد پراکسید هیدروژن از عوارض مصرف علف کش های خانواده اکسین است که باعث تخریب غشاهای لیپیدی (۱۷) و از بین رفتن مراحل مختلف منحنی اندازه گیری شده کاتسکی حاصل از آن ها شد.

کاهش فلورسانس نسبی پس از مرحله P (۱۰۰۰ میلی ثانیه) نشان می دهد که تعدادی از مراکز واکنش فتوسیستم دو هنوز سالم باقی مانده اند و ممانعت نوری فتوسیستم دو به طور کامل انجام نگرفته است. به عبارت دیگر تغییرات دستگاه فتوسنتزی و فرایندهای مربوط به اسیمیلایون دی اکسید کربن، باعث کاهش فلورسانس^۱ بعد از مرحله P و رسیدن به حالت پایه می شود. اما در دز توصیه شده (۳۷۱/۲) گرم ماده موثره در دو روز پس از پاشش) این کاهش مشاهده نمی شود و منحنی فلورسانس به خط راست تبدیل شده است که بیان می کند مراکز واکنش فتوسیستم دو کارایی خود را از دست داده اند. و همین طور مقدار فلورسانس نسبی آن در دو روز پس از پاشش علف کش کاهش چشمگیری داشته است. در نتیجه ای مشابه کریستنسن و همکاران (۷) گزارش کردند در علف کش بنتازون که بازدارنده فتوسیستم دو است نیز کاهش منحنی کاتسکی پس از ۱۰۰۰ میلی ثانیه صورت نگرفته بود.

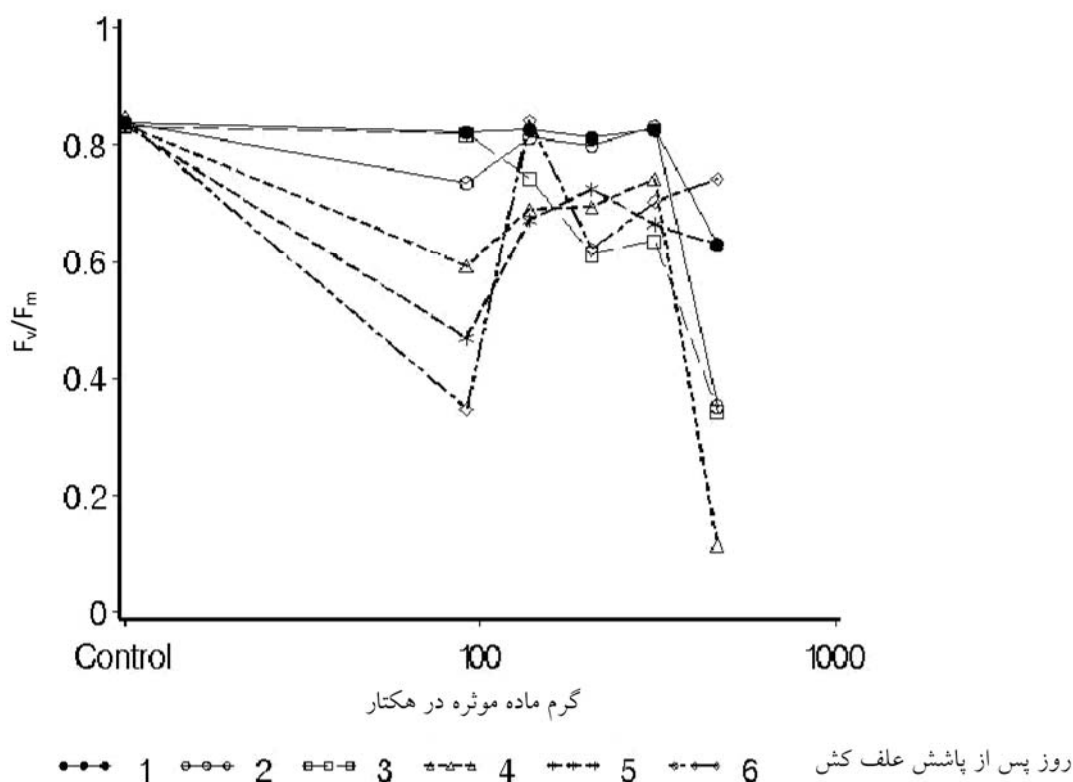
به غیر از دز توصیه شده - که تقریباً تمام مراحل منحنی القای فلورسانس در ۱ و ۲ روز پس از پاشش از بین رفته اند- در بقیه دزها، Dicamba+2, 4-D مراحل II, IP را نشانه گرفته است در حالی که این مراحل در تیمار شاهد (صفر گرم ماده موثره در هکتار) به طور مشخص و منفک وجود دارند. مرحله II متناظر با انتقال الکترون از Q_A به Q_B می باشد و فرو نشانی فلورسانس در این مرحله توسط بخش الکترون دهنده فتوسیستم دو کنترل می شود. بنابراین می تواند به عنوان شاخص مفیدی برای فعالیت تجزیه آب مد نظر قرار بگیرد، اگرچه مکانیسم آن به طور دقیق شناخته نشده است و مرحله IP شاخصی از میزان فلورسانس کلروفیل توسط مخزن پلاستوکوئینون می باشد (۱۹، ۲۲ و ۳۳).

علائم ظاهری علف کش Dicamba+2, 4-D در علف هرز خردل وحشی، دو روز پس از سمپاشی مشخص شد در حالی که ۲۴ ساعت پس از تیمار علف کش، پایش فلورسانس کلروفیل، آغاز واکنش های تخریبی اکسیداتیو را به وسیله تغییرات واضحی در منحنی القای فلورسانس نشان داد.

در شکل (۵) واکنش پارامتر حداکثر کارایی کوانتومی فتوسیستم دو (F_v/F_m) در دزهای مختلف علف کش Dicamba+2, 4-D طی ۶ روز پس از پاشش، مشاهده می شود. همان طور که در شکل دیده می شود مقدار این پارامتر در تیمار شاهد در هر ۶ روز پس از پاشش

پیشنهاد می شود که آزمایشات متعددی جهت تعیین تاثیر خانواده های مختلف علف کش با نحوه عمل متفاوت، بر فلورسانس کلروفیل علف های هرز مساله ساز انجام شود تا به صورت مجزا اثرات آن ها بر منحنی کاتسکی و خصوصیات فلورسانس کلروفیل و این که کدام یک از پارامترهای فلورسانس در توضیح اثرات علف کشی آن خانواده بهتر پاسخ می دهد، تعیین گردد.

در مرحله J کمک می کند که به طور غیر مستقیم بتوان در مورد بخش هایی از فتوسنتز II که این علف کش ها در طی فرایندهای مختلف آسیب می زند حدس هایی زد. حتی شکل منحنی پس از ۱۰۰۰ میکرو ثانیه (زمانی که فاز سریع فلورسانس (OJIP) تمام و فاز کند آن (SMT) آغاز می شود) نیز می تواند از قدرت علف کش مورد نظر در تخریب فتوسیستم دو خبر دهد.



شکل ۵- حداکثر کارایی کوانتومی فتوسیستم دو (F_v/F_m) در ۱، ۲، ۳، ۴، ۵ و ۶ روز پس از پاشش علف کش Dicamba+2, 4-D. هر منحنی میانگین سه تکرار برای هر دز می باشد.

منابع

- 1- Abbaspoor M., and Streibig J.C. 2007. Monitoring the efficacy and metabolism of phenylcarbamates in sugar beet and black nightshade by chlorophyll fluorescence parameters. *Pest Management Science*, 63:576-585.
- 2- Abbaspoor M., and Streibig J.C. 2005. Clodinafop changes the chlorophyll fluorescence induction curve. *Weed Science*, 53:1-9.
- 3- Appenroth K.J., Stockel J., Srivastava A., and Strasser R.J. 2000. Multiple effects of chromate on the photosynthesis apparatus of *Spirodela polyrhiza* as probed by OJIP chlorophyll A fluorescence measurements. *Environmental Pollution*, 115:49-64.
- 4- Barbagallo R.P., Oxborough K., Pallett K.E., and Baker N.R. 2003. Rapid, non-invasive screening for perturbations of metabolism and plant growth using chlorophyll fluorescence imaging. *Plant Physiology*, 132:485-493.
- 5- Blowers M.H. 1989. Applications of chlorophyll fluorescence to study the penetration of herbicides into leaves, University of Essex, Colchester, UK.
- 6- Bolhar-Nordenkamp H.R., and Oquist G. 1993. Chlorophyll fluorescence as a tool in photosynthesis research, in *Photosynthesis and production in a changing environment: a field and laboratory manual*, ed by Hall D.O, Scurlock

- J.M.O., Bolhar-Nordenkamp H.R., Leegood R.C., Long S.P., Chapman and Hall, London, pp 193–206.
- 7- Christensen M.G., Teicher H.B., and Streibig J.C. 2003. Linking fluorescence induction curve and biomass in herbicide screening. *Pest Management Science* 59:1303-1310.
 - 8- Cobb A.H., and Reade J.P.H. 2010. *Herbicides and Plant Physiology*. Wiley-Blackwell; 2nd edition. United Kingdom, West Sussex.
 - 9- Crudace A.J. 2000. The investigation of the in vivo behavior of a maize herbicide-Isoxaflutole. PhD thesis. University of Essex. Colchester, UK.
 - 10- Daley P.F. 1995. Chlorophyll fluorescence analysis and imaging in plant stress and disease. *Canadian Journal Plant Pathology - Rev Canadienne de Phytopathol* 17:167–173.
 - 11- Dat J., Vandenabeele S., Vranova E., Van Montagu M., Inze D., and Van Breusegem F. 2000. Dual action of the active oxygen species during plant stress cellular and molecular. *life science*, 57:779-95.
 - 12- Dayan F.E., and Zaccaro M.L. de M. 2012. Chlorophyll fluorescence as a marker for herbicide mechanisms of action. *Pesticide Biochemistry and Physiology*, 102: 189–197.
 - 13- Fayez K.A. 2000. Action of photosynthetic diuron herbicide on cell organelles and biochemical constituents of the leaves of two soybean cultivars. *Pesticide Biochemistry and Physiology* 66:105-115.
 - 14- Force L., Critchey C., and Rensen J.V. 2003. New fluorescence parameters for monitoring photosynthesis in plants. *Photosynthesis Research* 78:17-33.
 - 15- Fufezan C., Rutherford A.W., and Liskaya A.K. 2002. Singlet oxygen production in herbicide-treated photosystem II. *FEBS Lett.* 532:407- 410.
 - 16- Govindjee Amez J., and Fork D.C. (Eds.), *Light Emission by Plants and Bacteria*, Academic Press, Orlando, 1986, 638pp.
 - 17- Grossmann K., Kwiatkowski A., and Tresch S. 2001. Auxin herbicides induce H₂O₂ overproduction and tissue damage in cleavers (*Galium aparine* L.). *Journal of experimental botany*, 52: 1811-1816.
 - 18- Habbash D., Percival M.P., and Baker N.R. 1985. Rapid chlorophyll fluorescence technique for the study of penetration of photo synthetically active herbicides into leaf tissue. *Weed Research*, 25:389-395.
 - 19- Hiraki M., Rensen J.J.S.V., Vredenberg W.J., and Wakabayashi K. 2003. Characterization of the alterations of the chlorophyll a fluorescence induction curve after addition of photosystem II inhibiting herbicides. *Photosynthesis Research*, 78:35-46.
 - 20- Joyard J., Teyssier E., Miegé C., Berny-Seigneurin D., Marechal E., Block M.A., Dorne A.J., Rolland N., Ajlani G., and Douce R. 1998. The biochemical machinery of plastid envelope membranes, *Plant Physiology*, 118: 715–723.
 - 21- Luo X.Y., Sunohara Y., and Matsumoto H. 2004. Fluazifop-butyl causes membrane peroxidation in the herbicide-susceptible broad leaf weed bristly starbur (*Acanthospermum hispidum*). *Pesticide Biochemistry and Physiology*, 78:93-102.
 - 22- Matouskova M., Naus J., and Flasarova M. 1999. A long-term response of chlorophyll fluorescence induction to one-shot application of cyan-azine on barley plants and its relation to crop yield. *Photosynthetica*, 37:281-294.
 - 23- Mittler R. 2002. Oxidative stress, antioxidants and stress tolerance, *Trends in Plant Science*, 7: 405–410.
 - 24- Newmeyer D.D., and Ferguson-Miller S. 2003. Mitochondria: releasing power for life and unleashing the machineries of death. *Cell*, 112: 481–490.
 - 25- Papageorgiou G.C., Govindjee (Eds.), *Chlorophyll a Fluorescence: A Signature of Photosynthesis*, *Advances in Photosynthesis and Respiration*, vol. 19, Springer, Dordrecht, The Netherlands, 2004, 818pp.
 - 26- Peltzer D., Dreyer E., and Polle A. 2002. Differential temperature dependencies of antioxidative enzymes in two contrasting species: *Fagus sylvatica* and *Coleus blumei*. *Plant Physiology and Biochemistry*, 40:141-150.
 - 27- Riethmuller-Haage I., Lammert B., Kropff M.J., Harbinson J., and Kempenaar C. 2006. Can photosynthesis-related parameters be used to establish the activity of acetolactate synthase-inhibiting herbicides on weeds? *Weed Science*, 54:974–982.
 - 28- Rodriguez R. and Strasser R. 2002. The laboratory of bioenergetics. <http://www.unige.ch/sciences/biologie/bioen/bioindex.html>.
 - 29- Rutherford A.W., and Krieger-Liszkay A. 2001. Herbicide-induced oxidative stress in photosystem II. *Trends Biochemical Science*, 26:648-653.
 - 30- Shimabukuro R.H., Davis D.G., and Hoffer B.L. 2001. The effect of diclofop-methyl and its antagonist, vitamin E, on membrane lipids in oat (*Avena sativa* L.) and leafy spurge (*Euphorbia esula* L.). *Pesticide Biochemistry and Physiology*, 69:13-26.
 - 31- Sofo A., Dichio B., Xiloyannis C., and Masia A. 2004. Effects of different irradiance levels on some antioxidant enzymes and on malondialdehyde content during rewatering in olive tree. *Plant Science*, 166:293-302.
 - 32- Stirbet A., Govindjee. 2011. On the relation between the Kautsky effect (chlorophyll a fluorescence induction) and Photosystem II: Basics and applications of the OJIP fluorescence transient, *Photochemistry and Photobiology B Biology*, 104:236-257.
 - 33- Strasser R.J., and Stirbet A.D. 2001. Estimation of the energetic connectivity of PS II centers in plants using the

- fluorescence rise O–J–I–P; fitting of experimental data to three different PS II models. *Mathematics and Computers in Simulation*, 56:451-461.
- 34- Theodoulou F.L., Clark I.M., He X.L., Pallett K.E., Cole D.J., and Hallahan D.L. 2003. Co-induction of glutathione-S-transferases and multidrug resistance associated protein by xenobiotics in wheat. *Pest Management Science*, 59:202-214.
- 35- Zhang J., Weaver S.E., and Hamill A.S. 2000. Risks and reliability of using herbicides at below-labeled rates. *Weed Technology* 14:106-115.